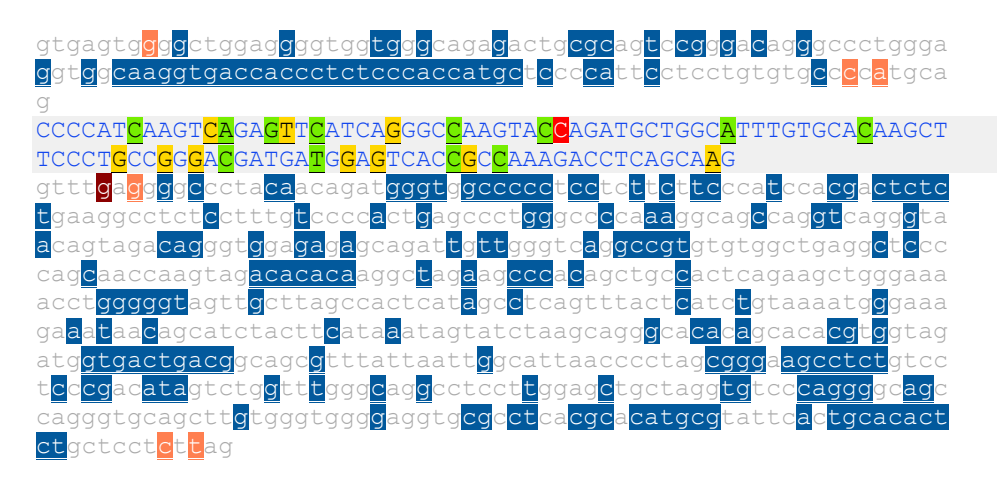
Ejemplo comparación de resultados predictores in sillico

Cambio de estudio GIT1 c.405+5G>C (chr17:29582693 G/C, COSV56608869 o NM_014030.4:c.405+5G>C)

Exón 4 e intrones adyacentes:



El cambio se encuentra en quinta posición justo después del exón 4 (la **g** en color granate).

Se va a obtener los resultados que produce analizar esta variable con los diferente predictores y ver cuál de ellos es más preciso.

NetGene2

Donor splice					Donor splice s	ites, direct	strand		
	pos 5'->3' 223 228 339		confidence 0.06 0.91 0.39	5' exon intron 3' AAAGACCTCA^GCAAGGTTTG CCTCAGCAAG^GTTTGAGGGG H AGGCAGCCAG^GTCAGGGTAA		pos 5'->3' 228 339		confidence 0.55 0.39	5' exon intron 3' CCTCAGCAAG^GTTTCAGGGG AGGCAGCCAG^GTCAGGGTAA
Donor splice	sites, comple	ement strand			Donor splice s	ites, comple	ement strand		
pos 3'->5' 155	pos 5'->3' 626	phase strand 0 -	confidence 0.61	5' exon intron 3' CCAGCATCTG^GTACTTGGCC	pos 3'->5' 155	pos 5'->3' 626	phase strand 0 -	confidence 0.55	5' exon intron 3' CCAGCATCTG^GTACTTGGCC
Acceptor spli	ce sites, dir	rect strand			Acceptor splic	e sites, dir	rect strand		
	pos 5'->3' 121 131 135 137 145 152	phase strand 2 + 0 + 1 + 0 + 2 + 0 +	confidence 0.77 0.42 0.34 0.32 0.19 0.07	5' intron exon 3' CCCCATGCAG^CCCCATCAAG CCCCATCAAG^TCAGAGTTCA ATCAAGTCAG^AGTTCATCAG CAAGTCAGAG^TTCATCAGGG AGTTCATCAG^GGCCAAGTAC CAGGGCCAAG^TACCAGATGC		pos 5'->3' 121 131 135 137 145 152	phase strand 2 + 0 + 1 + 0 + 2 + 0 +	confidence 0.77 0.43 0.34 0.32 0.19 0.07	5' intron exon 3' CCCCATGCAG^CCCCATCAAG CCCCATCAAG^TCAGAGTTCA ATCAAGTCAGAGATTCATCAG CAAGTCAGAG^TTCATCAGGG AGTTCATCAGAGCCAAGTAC CAGGGCCAAG^TACCAGATGC
Acceptor spli	ce sites, com	mplement stran	d		Acceptor splic	e sites, com	nplement strand	l	
pos 3'->5' 559 513 240 219 185 55	pos 5'->3' 222 268 541 562 596 726	phase strand 1 - 2 - 0 - 0 - 2 -	confidence 0.17 0.43 0.34 0.19 0.43 0.00	5' intron exon 3' CCCTGCTTAG^ATACTATTTA CATTTTACAG^ATGAGTAAAC TCTGTTGTAG^GGCCCCTCAA CCTTGCTGAG^GTCTTTGGCG GTCCCGGCAG^GGAAGCTTGT CACCTCCCAG^GGCCCTGTCC	pos 3'->5' 559 513 240 219 185 55	pos 5'->3' 222 268 541 562 596 726	phase strand 1 - 2 - 0 - 0 - 2 - 2 -	confidence 0.17 0.43 0.17 0.18 0.54 0.00	5' intron exon 3' CCCTGCTTAG^ATACTATTTA CATTTTACAG^ATGAGTAAAC TCTGTTGTAG^GGCCCCTGAA CCTTGCTGAG^GTCTTTGGCG GTCCCGGCAG^GGAAGCTTGT CACCTCCCAG^GGCCCTGTCC

Pérdida sitio *donor* (en rojo) en la secuencia mutante. Esta región se encuentra en el interior del exón, por lo que no se emplea en el *splicing* normal del mRNA. La mutación no tendrá efecto en el *splicing*.

Splice Site Prediction by Neural Network (NNSplice)

Donor site predictions for 89.130.114.18.17096.0:

Start	End	Score	Exon Intron
63	77	0.41	tggcaag gt gaccac
221	235	0.62	cagcaag gt ttgagg
332	346	0.80	cagccag gt cagggt

Donor site predictions for 89.130.114.18.17110.0:

Start	End	Score	Exon	Intron
63	77	0.41	tggcaa	ggtgaccac
332	346	0.80	cagcca	g gt cagggt

Acceptor site predictions for 89.130.114.18.17096.0: Acceptor site predictions for 89.130.114.18.17110.0:

Start End Score Intron Exon Start End Score Intron Exon

Pérdida de un sitio *donor* (en rojo) en la secuencia mutante. Este en concreto es el sitio *donor* del exón 4, pues se encuentra en el final del exón y principio del intrón 4. Por lo tanto, si se pierde un stio *donor* puede producirse o el *skipping* del exón o la inclusión de un exón críptico.

MaxEntScan (solo realizamos el análisis del 5'SS porque está por delante del exón y, si afecta a un sitio de splicing, será de este tipo)

MAXENT: -9.19 MDD: -6.05 MM: -8.99 WMM: -9.68

Spliceman

>sec

 ${\tt gtgagtggggctggaggggtggtgggaggaggtggcagggcctggagggtggcaagggtggcaaggtggaaggaggaggaggaggaggaggaggagg$

26460	Wildtype (wt) Mutation (mt) L1 distance Ranking (L1)
ggttt(g/c)agggg gagggg cagggg 26469 52%	gagggg 26469 52%

Human Splicing Finder



New Acceptor splice site	Activation of a cryptic Ac	Activation of a cryptic Acceptor site. Potential alteration of splicing								
Algorithm/Matix	position	sequences	variation							
HSF Acceptor site (matrix AG)	chr17:29582702	- REF : GCAAGGTTTGAGGG - ALT : GCAAGGTTTCAGGG	70.25 > 77.89 => 10.88%							

SVM-BPfinder

seq_id	agez	ss_dis	t bp_seq bp_scr	y_cont ppt_off	ppt_len ppt_scr	svm_sc	r			seq_id	agez	ss_dis	t bp_seq bp_scr	y_cont ppt_off	ppt_len ppt_scr	svm_scr			
wt	15	402	aggtgacca	1.42749393983	0.51637279597	1	15	24	1.2877645	mut	15	402	aggtgacca	1.42749393983	0.518891687657	1	15	24	1.288578
wt	15	346	ccatcaagt	-2.43633918142	0.478005865103	51	10	19	-3.4489955	mut	15	346	ccatcaagt	-2.43633918142	0.480938416422	51	10	19	-3.4480484
wt	15	341	aagtcagag	-2.75129231578	0.479166666667	46	10	19	-3.255448	mut	15	341	aagtcagag	-2.75129231578	0.482142857143	46	10	19	-3.2544868
wt	15	334	agttcatca	-1.31492603658	0.480243161094	39	10	19	-2.2496068	mut	15	334	agttcatca	-1.31492603658	0.483282674772	39	10	19	-2.2486251
wt	15	331	tcatcaggg	-3.31218636923	0.478527607362	36	10	19	-2.8422878	mut	15	331	tcatcaggg	-3.31218636923	0.481595092025	36	10	19	-2.8412971
wt	15	276	cgatgatgg	0.809732724934	0.479704797048	58	24	47	-2.3597008	mut	15	276	cgatgatgg	0.809732724934	0.483394833948	58	24	47	-2.3585091
wt	15	268	gagtcaccg	0.722488771671	0.48288973384	50	24	47	-1.8864458	mut	15	268	gagtcaccg	0.722488771671	0.486692015209	50	24	47	-1.8852177
wt	15	253	acctcagca	-0.287534839085	0.479838709677	35	24	47	-1.3334283	mut	15	253	acctcagca	-0.287534839085	0.483870967742	35	24	47	-1.332126
wt	15	242	gtttgaggg	-2.00504619751	0.485232067511	24	24	47	-1.3078917	mut	15	242	gtttcaggg	-2.38305715253	0.485232067511	24	24	47	-1.4559009
wt	15	185	ctctgaagg	0.726595176089	0.438888888889	4	19	37	0.91951544	mut	15	185	ctctgaagg	0.726595176089	0.438888888889	4	19	37	0.91951544
wt	15	161	cactgagcc	1.77767596887	0.397435897436	132	9	12	-7.0174061	mut	15	161	cactgagcc	1.77767596887	0.397435897436	132	9	12	-7.0174061
wt	15	133	aggtcaggg	-2.8971086997	0.3828125	104	9	12	-7.0801752	mut	15	133	aggtcaggg	-2.8971086997	0.3828125	104	9	12	-7.0801752
wt	15	127	gggtaacag	1.36380865899	0.393442622951	98	9	12	-5.0286015	mut	15	127	gggtaacag	1.36380865899	0.393442622951	98	9	12	-5.0286015
wt	15	91	gggtcaggc	-2.08459464497	0.43023255814	62	9	12	-4.0881928	mut	15	91	gggtcaggc	-2.08459464497	0.43023255814	62	9	12	-4.0881928
wt	15	75	ggctgaggc	0.352138110667	0.428571428571	46	9	12	-2.12186	mut	15	75	ggctgaggc	0.352138110667	0.428571428571	46	9	12	-2.12186
wt	15	20	cactcagaa	-0.414550395741	0.266666666667	15	0	0	-0.62388748	mut	15	20	cactcagaa	-0.414550395741	0.266666666667	15	0	0	-0.62388748

La diferencia entre ambas es el BP donde se encuentra la mutación de interés en la última posición (en amarillo). El BP tiene puntuación menos negativa en la secuencia mutante, pero siguen siendo números muy bajos, por lo que es probable que no esté afectando al *splicing*.

Variant Effect Predictor tool

Se trata de una variante que está afectando al sitio de *splicing* (7/13 resultados), por lo que va a provocar que se altere el *splicing* normal, probablemente en la región *donor* dada su proximidad.

ENST00000581348.5:c.405+5G>C <u>17:29582693-</u> G	splice_region_variant, intron_variant	GIT1	ENSG00000108262 Transcript	ENST00000225394.8	protein_coding	-	-	COSV56608869
ENST00000581348.5:c.405+5G>C 17:29582693- G 29582693	splice_region_variant, intron_variant	GIT1	ENSG00000108262 Transcript	ENST00000335356.7	protein_coding	-	-	COSV56608869
ENST00000581348.5:c.405+5G>C 17:29582693- G 29582693	splice_region_variant, intron_variant	GIT1	ENSG00000108262 Transcript	ENST00000394869.7	protein_coding	-	-	COSV56608869
ENST00000581348.5:c.405+5G>C 17:29582693- G	upstream_gene_variant	GIT1	ENSG00000108262 Transcript	ENST00000473217.5	retained_intron	-	-	COSV56608869
ENST00000581348.5:c.405+5G>C 17:29582693- G 29582693	downstream_gene_variant	GIT1	ENSG00000108262 Transcript	ENST00000577466.2	protein_coding	-	-	COSV56608869
ENST00000581348.5:c.405+5G>C 17:29582693- G 29582693	splice_region_variant, intron_variant, non_coding_transcript_variant	GIT1	ENSG00000108262 Transcript	ENST00000579536.1	retained_intron	-	-	COSV56608869
ENST00000581348.5:c.405+5G>C 17:29582693- G 29582693	splice_region_variant, intron_variant	GIT1	ENSG00000108262 Transcript	ENST00000579937.5	protein_coding	-	-	COSV56608869
ENST00000581348.5:c.405+5G>C 17:29582693- G 29582693	splice_region_variant, intron_variant	GIT1	ENSG00000108262 Transcript	ENST00000581348.5	protein_coding	-	-	COSV56608869
ENST00000581348.5:c.405+5G>C 17:29582693- G 29582693	intron_variant, non_coding_transcript_variant	ABHD15- AS1	ENSG00000264031 Transcript	ENST00000581474.1	IncRNA	-		COSV56608869
ENST00000581348.5:c.405+5G>C 17:29582693- G 29582693	upstream_gene_variant	GIT1	ENSG00000108262 Transcript	ENST00000581925.1	retained_intron	-	-	COSV56608869
ENST00000581348.5:c.405+5G>C 17:29582693- G 29582693	splice_region_variant, intron_variant	GIT1	ENSG00000108262 Transcript	ENST00000583413.4	protein_coding	-	-	COSV56608869
ENST00000581348.5:c.405+5G>C <u>17:29582693-</u> G <u>29582693</u>	upstream_gene_variant	GIT1	ENSG00000108262 Transcript	ENST00000585148.1	protein_coding	-	-	COSV56608869
ENST00000581348.5:c.405+5G>C 17:29582693- G 29582693	upstream_gene_variant	GIT1	ENSG00000108262 Transcript	ENST00000586574.5	retained_intron	-	-	COSV56608869

ESEfinder

Solo se obtiene un resultado positivo donde se encuentre la posición de estudio (segunda g después de las mayúsculas del exón) para las matrices 5'SS:

1		i	-: Pii		I iiiiii
213		213	213		213
AAAGACCTCAGCAAGgtttgaggggcccta 5	5.86180	AAAGACCTCAGCAAGgtttgaggggcccta -3.223	0 AAAGACCTCAGCAAGgtttgaggggcccta	5.89020	AAAGACCTCAGCAAGgtttgaggggcccta -3.95580
(-568)		(-568)	[-568]		(-568)

Si buscamos el resultado equivalente para la secuencia mutante, se observa que las puntuaciones son menores para esas matrices:

213 AAAGACCTCAGCAAGgtttcaggggcccta	2.05890	213	AAAGACCTCAGCAAGgtttcaggggcccta	-2.85680	213	AAAGACCTCAGCAAGgtttcaggggcccta	2.11040	213	AAAGACCTCAGCAAGgtttcaggggcccta	-3.63990
(-568)		(-568)			(-568)			(-568))	

Por lo tanto, se está debilitando el sitio 5'SS, provocando una posible alteración del splicing.